

**UNICAMP**

# Projeto Computacional 4 – Problema de condução 2D e análise de convergência

Raphael Alves Hailer - RA: 223852

[r223852@dac.unicamp.br](mailto:r223852@dac.unicamp.br)

Disciplina: EM503

Turma: A

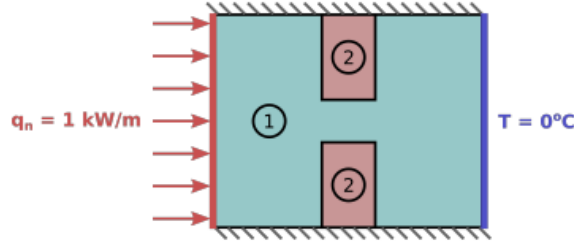
Professor: Renato Pavanello

Data: 10/07/2022

# Introdução

O projeto 4 consiste em estudar a condução de calor bidimensional em uma chapa, utilizando o método dos elementos finitos para determinar qual o comportamento de regime permanente obtido por diferentes configurações de materiais na geometria proposta. Em adição, será feita uma análise de convergência do método, para avaliar a sua confiabilidade.

A geometria da chapa, juntamente com a distribuição de materiais com diferentes condutividades térmicas e as condições de contorno do problema a ser estudado estão ilustradas na figura abaixo:



**Figura 1:** Chapa com diferentes materiais, com condições de contorno ilustradas.

A equação que rege o comportamento térmico de cada elemento pertencente ao domínio  $\Omega$ , que representa a chapa inteira, é a equação de condução de calor, descrita a seguir:

$$k(x, y) \left( \frac{\partial^2 T}{\partial x^2} + \frac{\partial^2 T}{\partial y^2} \right) = -Q(x, y) \quad (1)$$

Onde  $k(x, y)$  é a condutividade térmica na coordenada  $(x, y) \in \Omega$  e  $Q(x, y)$  é o termo de geração de calor. Para prosseguir, temos que as condições de contorno são:

- Fluxo imposto na superfície lateral esquerda;
- Superfícies do topo e inferior são adiabáticas;
- Geração de calor nula no interior da chapa;
- Temperatura da superfície lateral direita é imposta.

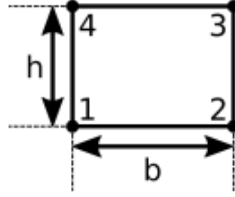
De forma matemática, podemos descrever as condições de contorno da seguinte forma:

$$\left\{ \begin{array}{ll} -k(0, y) \frac{\partial T}{\partial x}(0, y) = q_n = 1000 \text{ W/m} & \forall y \in [0, L_y] \\ -k(x, 0) \frac{\partial T}{\partial y}(x, 0) = 0 & \forall x \in [0, L_x] \\ -k(x, L_y) \frac{\partial T}{\partial y}(x, L_y) = 0 & \forall x \in [0, L_x] \\ Q(x, y) = 0 & \forall (x, y) \in \Omega \\ T(L_x, y) = 0 & \forall y \in [0, L_y] \end{array} \right.$$

Em que  $L_x$  é o comprimento total na direção horizontal da chapa e  $L_y$  é a altura total da chapa.

Para o estudo, iremos utilizar dois materiais diferentes, denotados por 1 e 2, com condutividades térmicas iguais a  $k_1$  e  $k_2$ , respectivamente. Temos que o domínio  $\Omega$  possui dois subdomínios,  $\Omega_1$  e  $\Omega_2$ , onde temos condutividade térmicas  $k_1$  e  $k_2$ , respectivamente.

Ademais, iremos utilizar elementos de 4 nós retangulares, como ilustrado na figura a seguir, com a orientação dos nós dada.



**Figura 2:** Elemento retangular com enumeração proposta para nós, para a aplicação do método dos elementos finitos.

Temos que a dimensão horizontal do elemento finito é dada por  $b$  e sua altura é dada por  $h$ .

Selecionado o tipo de elemento, precisamos definir a distribuição de materiais na geometria da chapa. Existem 3 configurações a serem estudadas, ilustradas a seguir, com cotas dadas em centímetros:



**Figura 3:** Configurações para distribuição dos materiais da chapa.

De forma que  $L_x = 1m$  e  $L_y = 0.8m$ . Em adição, temos que o número de elementos nas direções  $x$  e  $y$  são dados por  $n_x$  e  $n_y$ , respectivamente, de forma que

$$n_x = 5m_x \wedge n_y = 5m_y$$

Onde  $m_x$  e  $m_y$  são parâmetros, de modo que o número de elementos em ambas as direções sejam sempre múltiplos de 5.

Sendo assim, temos tudo que é necessário para iniciarmos a análise via método dos elementos finitos.

# Explorando o método dos elementos finitos no problema de condução 2D

Para a solução do problema utilizando o método dos elementos finitos, é necessário compreender que o problema que queremos resolver é da forma  $[K_g]\{T_g\} = \{f_g\}$ , onde  $[K_g]$  é o equivalente à matriz de rigidez global para problemas advindos dos estudos da resistência dos materiais,  $\{T_g\}$  é o vetor de temperaturas nodais global e  $\{f_g\}$  é o equivalente do vetor de cargas externas global para problemas da resistência dos materiais. Os termos que constituem as cargas externas são termos relacionados à geração de calor interna e relacionados a fluxos térmicos impostos nos elementos da discretização.

Para a obtenção da matriz  $[K_g]$  e do vetor  $\{f_g\}$ , é necessário analisar um elemento por vez, de forma que se tenha uma matriz de rigidez elementar  $[K_e]$  e um vetor de cargas elementar  $\{f_e\}$ . Ao final, se constrói um sistema linear global constituído pela contribuição de todos os elementos de  $\Omega$ .

A dedução formal da matriz de rigidez elementar e do vetor de cargas elementar é extensa e está fora do escopo do projeto. A dedução parte da aplicação do método dos resíduos ponderados, em que temos um resíduo  $R_n \forall (x, y) \in \Omega$  dado por

$$R_n = k \left( \frac{\partial^2 T}{\partial^2 x^2} + \frac{\partial^2 T}{\partial^2 y^2} \right) + Q(x, y) \quad (2)$$

E o método consiste em determinar quando

$$\int_{\Omega} v_n R_n d\Omega = 0 \quad (3)$$

Onde  $v_n$  é a função ponderadora do método. Existem diversas formas de definir as funções ponderadoras, mas o método adotado foi o método de Galerkin.

De forma breve, temos que a temperatura de cada elemento, em coordenadas locais  $(\bar{x}, \bar{y})$ , com  $\bar{x} \in [0, b]$  e  $\bar{y} \in [0, h]$  é dada por

$$T(\bar{x}, \bar{y}) = \sum_{i=1}^4 \phi_i(\bar{x}, \bar{y}) T_i \quad (4)$$

Onde os subíndices 1, 2, 3 e 4 são baseados na enumeração de nó para o elemento, dada pela figura 2. Por exemplo, a temperatura no centro de um elemento cujas temperaturas do elemento equivalentes a  $T_1, T_2, T_3$  e  $T_4$  em 2 sejam  $T_a, T_b, T_c$  e  $T_d$ , respectivamente, é

$$T\left(\frac{b}{2}, \frac{h}{2}\right) = \phi_1\left(\frac{b}{2}, \frac{h}{2}\right) T_a + \phi_2\left(\frac{b}{2}, \frac{h}{2}\right) T_b + \phi_3\left(\frac{b}{2}, \frac{h}{2}\right) T_c + \phi_4\left(\frac{b}{2}, \frac{h}{2}\right) T_d$$

As funções  $\phi_i$  com  $i \in \{1, 2, 3, 4\}$  são denominadas funções de forma. Ao impor que  $T(0, 0) = T_1, T(b, 0) = T_2, T(b, h) = T_3$  e  $T(0, h) = T_4$ , obtemos as funções de forma, que são mostradas abaixo:

$$\left\{ \begin{array}{l} \phi_1(\bar{x}, \bar{y}) = \frac{(b-\bar{x})(h-\bar{y})}{bh} \\ \phi_2(\bar{x}, \bar{y}) = \frac{\bar{x}(h-\bar{y})}{bh} \\ \phi_3(\bar{x}, \bar{y}) = \frac{(\bar{x})(\bar{y})}{bh} \\ \phi_4(\bar{x}, \bar{y}) = \frac{(b-\bar{x})\bar{y}}{bh} \end{array} \right.$$

O método de Galerkin impõe a utilização das funções ponderadoras  $v_n$  como sendo  $v_n = \phi_n$ , com  $n \in \{1, 2, 3, 4\}$ , fazendo com que seja possível, a partir da Equação 3 obtermos uma matriz de rigidez elementar e um vetor de cargas elementar, para análise via elementos finitos.

É válido mencionar que além de substituir  $v_n$  na Equação 3, é necessário a utilização da integração por partes para reduzir a ordem das derivadas parciais de  $T$ , de forma que obtenhamos a forma fraca.

Sendo assim temos que ,após a dedução formal, a matriz de rigidez elementar  $[K_e]$  é dada por

$$[K_e] = \frac{k_e}{6bh} \begin{bmatrix} 2[b^2 + h^2] & b^2 - 2h^2 & -[b^2 + h^2] & h^2 - 2b^2 \\ b^2 - 2h^2 & 2[b^2 + h^2] & h^2 - 2b^2 & -[b^2 + h^2] \\ -[b^2 + h^2] & h^2 - 2b^2 & 2[b^2 + h^2] & b^2 - 2h^2 \\ h^2 - 2b^2 & -[b^2 + h^2] & b^2 - 2h^2 & 2[b^2 + h^2] \end{bmatrix} \quad (5)$$

E o vetor de cargas elementar  $\{f_e\}$  é dado para cada elemento a depender se há ou não cargas térmicas. Como não temos geração de calor no problema a ser analisado, resta apenas considerarmos cargas térmicas devido a fluxos de calor impostos. Para a chapa, temos que há somente fluxo térmico na superfície lateral esquerda, de forma que para os elementos em  $x = 0$  com  $y \in [0, L_y]$  o vetor é:

$$\{f_e\} = \frac{q_n h}{2} \begin{Bmatrix} 1 \\ 0 \\ 0 \\ 1 \end{Bmatrix} \quad (6)$$

Dessa forma, podemos partir para a montagem do sistema global. Temos que o sistema global possui matriz de rigidez singular, de forma que não há solução. Para resolver isso, precisamos aplicar as condições de contorno, de forma que iremos retirar as linhas e colunas correspondentes às temperaturas já conhecidas (temperatura imposta na parede da direita), fazendo com que seja possível resolver o sistema linear resultante e obter as temperaturas de todos os nós.

Por fim, é de interesse do projeto obter os fluxos térmicos nas direções  $x$  e  $y$  dentro de cada elemento. Para fazer isso, devemos obter, em coordenadas locais, os valores de  $\frac{\partial T}{\partial \bar{x}}(\bar{x}, \bar{y})$  e  $\frac{\partial T}{\partial \bar{y}}(\bar{x}, \bar{y})$ . Como temos a expressão para a temperatura dentro de cada elemento, dada pela Equação 4, obtemos

$$T(\bar{x}, \bar{y}) = \sum_{i=1}^4 \phi_i(\bar{x}, \bar{y}) T_i \Rightarrow \begin{cases} \frac{\partial T}{\partial \bar{x}}(\bar{x}, \bar{y}) = \sum_{i=1}^4 \frac{\partial \phi_i}{\partial \bar{x}}(\bar{x}, \bar{y}) T_i \\ \frac{\partial T}{\partial \bar{y}}(\bar{x}, \bar{y}) = \sum_{i=1}^4 \frac{\partial \phi_i}{\partial \bar{y}}(\bar{x}, \bar{y}) T_i \end{cases}$$

Onde, novamente, utiliza-se a enumeração de nós proposta na figura 2. Dessa forma, precisamos das derivadas parciais das funções de forma nas direções locais  $\bar{x}$  e  $\bar{y}$ . Para a direção  $\bar{x}$  temos

$$\begin{cases} \frac{\partial \phi_1}{\partial \bar{x}}(\bar{x}, \bar{y}) = \frac{\bar{y}-h}{bh} \\ \frac{\partial \phi_2}{\partial \bar{x}}(\bar{x}, \bar{y}) = \frac{h-\bar{y}}{bh} \\ \frac{\partial \phi_3}{\partial \bar{x}}(\bar{x}, \bar{y}) = \frac{\bar{y}}{bh} \\ \frac{\partial \phi_4}{\partial \bar{x}}(\bar{x}, \bar{y}) = -\frac{\bar{y}}{bh} \end{cases}$$

Enquanto que para a direção  $\bar{y}$  temos

$$\begin{cases} \frac{\partial \phi_1}{\partial \bar{y}}(\bar{x}, \bar{y}) = \frac{\bar{x}-b}{bh} \\ \frac{\partial \phi_2}{\partial \bar{y}}(\bar{x}, \bar{y}) = -\frac{\bar{x}}{bh} \\ \frac{\partial \phi_3}{\partial \bar{y}}(\bar{x}, \bar{y}) = \frac{\bar{x}}{bh} \\ \frac{\partial \phi_4}{\partial \bar{y}}(\bar{x}, \bar{y}) = \frac{b-\bar{x}}{bh} \end{cases}$$

Portanto, as derivadas parciais de  $T$  em  $\bar{x}$  e em  $\bar{y}$  são dadas por

$$\frac{\partial T}{\partial \bar{x}}(\bar{x}, \bar{y}) = \left\{ \frac{\partial \phi_1}{\partial \bar{x}}(\bar{x}, \bar{y}) \quad \frac{\partial \phi_2}{\partial \bar{x}}(\bar{x}, \bar{y}) \quad \frac{\partial \phi_3}{\partial \bar{x}}(\bar{x}, \bar{y}) \quad \frac{\partial \phi_4}{\partial \bar{x}}(\bar{x}, \bar{y}) \right\} \begin{Bmatrix} T_1 \\ T_2 \\ T_3 \\ T_4 \end{Bmatrix}$$

$$\frac{\partial T}{\partial \bar{y}}(\bar{x}, \bar{y}) = \left\{ \frac{\partial \phi_1}{\partial \bar{y}}(\bar{x}, \bar{y}) \quad \frac{\partial \phi_2}{\partial \bar{y}}(\bar{x}, \bar{y}) \quad \frac{\partial \phi_3}{\partial \bar{y}}(\bar{x}, \bar{y}) \quad \frac{\partial \phi_4}{\partial \bar{y}}(\bar{x}, \bar{y}) \right\} \begin{Bmatrix} T_1 \\ T_2 \\ T_3 \\ T_4 \end{Bmatrix}$$

Tendo calculado as derivadas espaciais da temperatura dentro dos elementos, podemos agora calcular o fluxo térmico dentro dos elementos. Sendo  $k_e$  a condutividade térmica do elemento, temos que o vetor de fluxo térmico  $\{q(\bar{x}, \bar{y})\}$  é dado por

$$\{q(\bar{x}, \bar{y})\} = \begin{Bmatrix} q_x(\bar{x}, \bar{y}) \\ q_y(\bar{x}, \bar{y}) \end{Bmatrix} = -k_e \begin{Bmatrix} \frac{\partial T}{\partial \bar{x}}(\bar{x}, \bar{y}) \\ \frac{\partial T}{\partial \bar{y}}(\bar{x}, \bar{y}) \end{Bmatrix} \Leftrightarrow \{q(\bar{x}, \bar{y})\} = -k_e \begin{bmatrix} \frac{\partial \phi_1}{\partial \bar{x}}(\bar{x}, \bar{y}) & \frac{\partial \phi_2}{\partial \bar{x}}(\bar{x}, \bar{y}) & \frac{\partial \phi_3}{\partial \bar{x}}(\bar{x}, \bar{y}) & \frac{\partial \phi_4}{\partial \bar{x}}(\bar{x}, \bar{y}) \\ \frac{\partial \phi_1}{\partial \bar{y}}(\bar{x}, \bar{y}) & \frac{\partial \phi_2}{\partial \bar{y}}(\bar{x}, \bar{y}) & \frac{\partial \phi_3}{\partial \bar{y}}(\bar{x}, \bar{y}) & \frac{\partial \phi_4}{\partial \bar{y}}(\bar{x}, \bar{y}) \end{bmatrix} \begin{Bmatrix} T_1 \\ T_2 \\ T_3 \\ T_4 \end{Bmatrix}$$

Ou ainda, podemos dizer que

$$\{q(\bar{x}, \bar{y})\} = -k_e [B_e] \{T_e\}$$

Onde  $\{T_e\}$  é o vetor de temperaturas do elemento e a matriz  $[B_e]$ , após substituição dos termos, é dada por

$$[B_e] = \frac{1}{bh} \begin{bmatrix} (\bar{y} - h) & (h - \bar{y}) & \bar{y} & -\bar{y} \\ (\bar{x} - b) & -\bar{x} & \bar{x} & (b - \bar{x}) \end{bmatrix} \quad (7)$$

De modo que a expressão final para cálculo dos fluxos térmicos em uma coordenada genérica  $(\bar{x}, \bar{y})$  dentro de um elemento é dada por

$$\{q(\bar{x}, \bar{y})\} = -\frac{k_e}{bh} \begin{bmatrix} (\bar{y} - h) & (h - \bar{y}) & \bar{y} & -\bar{y} \\ (\bar{x} - b) & -\bar{x} & \bar{x} & (b - \bar{x}) \end{bmatrix} \begin{Bmatrix} T_1 \\ T_2 \\ T_3 \\ T_4 \end{Bmatrix} \quad (8)$$

Um dos objetivos do projeto é calcular o fluxo térmico no centro de cada elemento. Para isso, basta fazermos  $(\bar{x}, \bar{y}) = (\frac{b}{2}, \frac{h}{2})$ , de modo que obtemos

$$\{q(\frac{b}{2}, \frac{h}{2})\} = -k_e \begin{bmatrix} -\frac{1}{2b} & \frac{1}{2b} & \frac{1}{2b} & -\frac{1}{2b} \\ -\frac{1}{2h} & -\frac{1}{2h} & \frac{1}{2h} & \frac{1}{2h} \end{bmatrix} \begin{Bmatrix} T_1 \\ T_2 \\ T_3 \\ T_4 \end{Bmatrix} \quad (9)$$

# Resolução do problema global - MATLAB

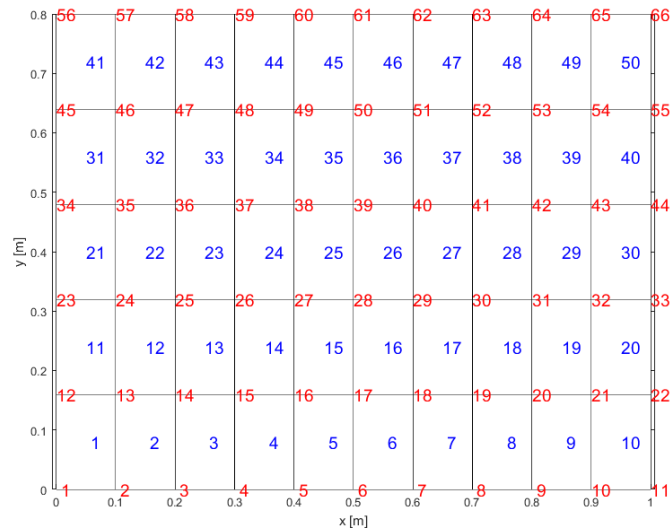
## Questões 1 e 2

Para a resolução das questões 1 e 2, utilizou-se o código "projeto4\_quest.1.e.2.m" anexado no envio deste relatório, que é baseado em um código para resolução do problema de condução 2D utilizando o método de elementos finitos feito em sala de aula, com o auxílio do professor Renato Pavanello, porém com diversas alterações.

Por meio desse código, é possível obter as temperaturas em todos os nós da malha, os fluxos térmicos nas direções  $x$  e  $y$  no centro de todos os elementos e também é possível obter representações visuais que auxiliam bastante na compreensão do resultado. Primeiramente, deve-se inserir os valores de  $m_x$  e  $m_y$  desejados, além de informar o valor de  $c$ , sendo que  $c \in \{1, 2, 3\}$  corresponde à configuração desejada para distribuição dos materiais 1 e 2. Caso informe um valor de  $c$  que não corresponde às configurações 1, 2 ou 3, o programa irá exibir uma mensagem informando ao usuário que a configuração está indisponível.

Ademais, o programa gera vetores de coordenadas  $x$  e  $y$  dos nós, denominados "coordx" e "coordy", respectivamente. Em seguida, utilizando esses vetores, a matriz de incidência é gerada, onde cada linha corresponde ao elemento e temos a primeira coluna informando o material do elemento, enquanto as 4 colunas seguintes informam os nós do elemento. Para um índice de material igual a 1, significa que o elemento possui condutividade igual a  $k_1$ , sendo  $k_1 = 100 \text{ W/(m}^\circ\text{C)}$ , enquanto que para um índice de material igual a 2 temos que a condutividade do elemento é igual a  $k_2$ , sendo  $k_2 = 25 \text{ W/(m}^\circ\text{C)}$ . Essas condutividades podem ser alteradas pela entrada de dados do programa, caso o usuário deseje.

Outro aspecto interessante do programa é que ele gera uma malha com a enumeração dos nós e dos elementos, como ilustrado pela figura a seguir, utilizando  $m_x = 2$  e  $m_y = 1$ :



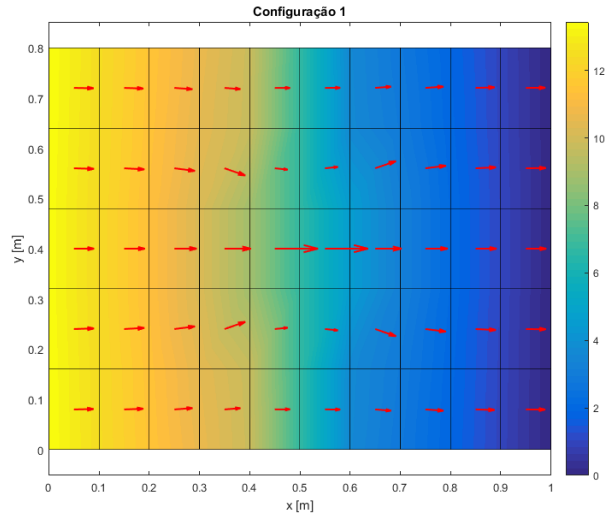
**Figura 4:** Malha discretizada para análise via método dos elementos finitos, com nós enumerados em vermelho e elementos enumerados em azul.

Ao inserirmos os dados de entrada, o programa irá gerar também uma malha onde a cor indica a temperatura nos nós e as setas indicam a magnitude, direção e sentido do fluxo térmico no centro de cada elemento. Os vetores com resultados numéricos para temperatura nos nós e fluxo térmico no centro dos elementos é dado no código pelas matrizes "Tel" e "q\_centro", respectivamente. Na matriz "Tel", cada coluna corresponde a um elemento e as temperaturas nas linhas correspondem às temperaturas nos nós, de maneira ordenada como ilustrada na figura 4. Caso o usuário deseje, é possível analisar o vetor de temperaturas nodais "Tg", que é obtido diretamente pela resolução do sistema linear global, onde cada linha corresponde à

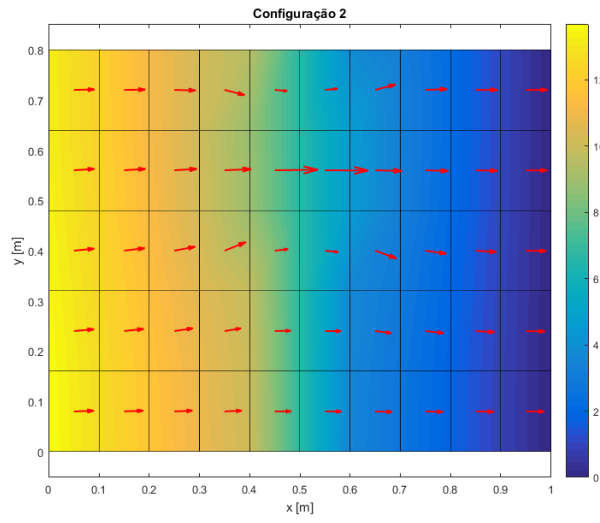
numeração do nó e a Temperatura neste nó. Por fim, a matriz "q\_centro" informa os fluxos nas direções  $x$  e  $y$  pelas linhas 1 e 2, respectivamente.

A seguir, temos o resultado visual obtido para as três configurações:

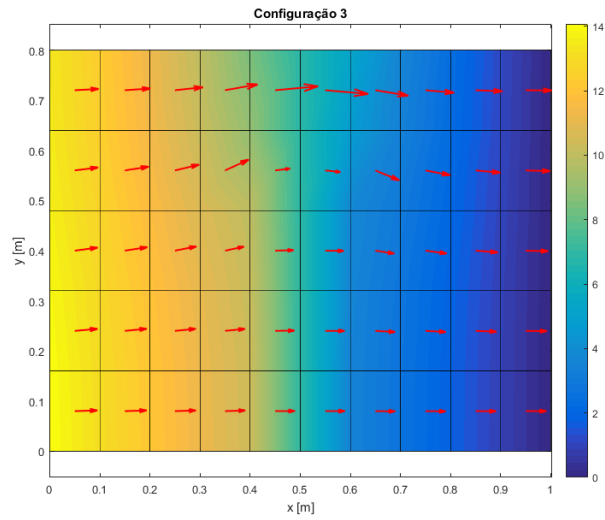




(a) Configuração 1.



(b) Configuração 2.



(c) Configuração 3.

**Figura 5:** Resposta obtida para as diferentes configurações de materiais, utilizando uma entrada de dados fixa.

### Questão 3

Na questão três, iremos analisar a convergência do método de elementos finitos por meio de análise de diversas formas de medir o vetor de temperaturas.

Nós temos que as seguintes medidas se alteram conforme há o refino da malha discretizada, porém caso o método convirja, será possível observar e também será possível estudar a quantidade mínima de elementos para haver convergência satisfatória.

Considere  $G$  como sendo o número total de nós da malha,  $\{T_g\}$  como sendo o vetor de temperaturas global em todos os nós da discretização e  $[K_g]$  como sendo a matriz de rigidez global do sistema, sem aplicação das condições de contorno. Dessa forma, será conduzida uma análise de convergência em 4 medidas de vetor de temperaturas  $T$ , dadas por

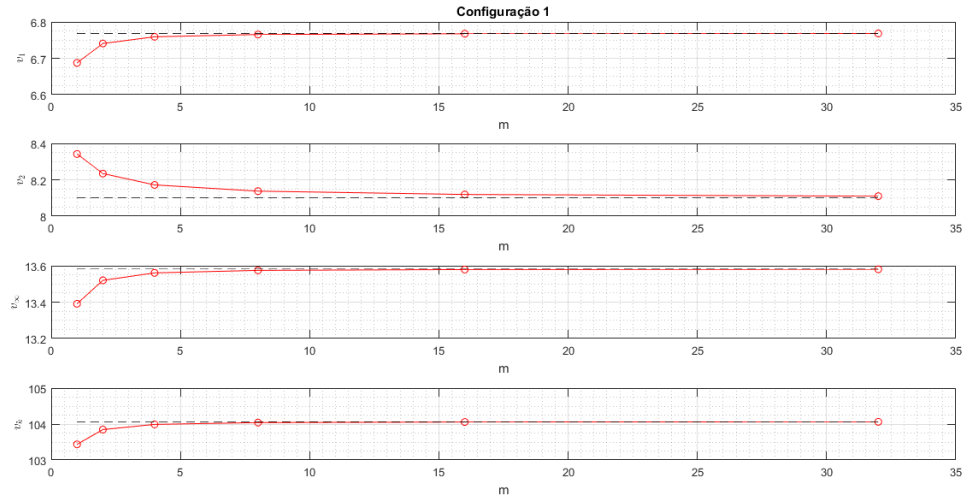
$$\begin{aligned}
 v_1 &= \frac{\|T\|_1}{\|1\|_1} = \frac{\sum_{i=1}^G |T_i|}{\sum_{i=1}^G |1|} = \frac{1}{G} \sum_{i=1}^G |T_i| \\
 v_2 &= \frac{\|T\|_2}{\|1\|_2} = \frac{\left[ \sum_{i=1}^G |T_i|^2 \right]^{\frac{1}{2}}}{\left[ \sum_{i=1}^G |1|^2 \right]^{\frac{1}{2}}} = \frac{1}{\sqrt{G}} \left[ \sum_{i=1}^G |T_i|^2 \right]^{\frac{1}{2}} \\
 v_\infty &= \frac{\|T\|_\infty}{\|1\|_\infty} = \frac{\max_{i \in \{1, \dots, G\}} |T_i|}{\max_{i \in \{1, \dots, G\}} |1_i|} = \max_{i \in \{1, \dots, G\}} |T_i| \\
 v_k &= \|\{T_g\}\|_{[K_g]} = \sqrt{\{T_g\}^T [K_g] \{T_g\}}
 \end{aligned} \tag{10}$$

Para a análise, consideraremos  $m_x = m_y = m = 1, 2, 4, 8, 16, 32$ , de modo que os elementos sejam sempre quadrados e para que tenhamos uma malha cada vez mais refinada. É esperado que conforme se refine a malha, as medidas  $v_1, v_2, v_\infty$  e  $v_k$  convirjam. Como referência, temos os valores das medidas de temperatura para as 3 configurações utilizando  $m = 128$ , fazendo com que a malha seja de 409600 elementos. A seguir temos uma tabela com os valores de referência:

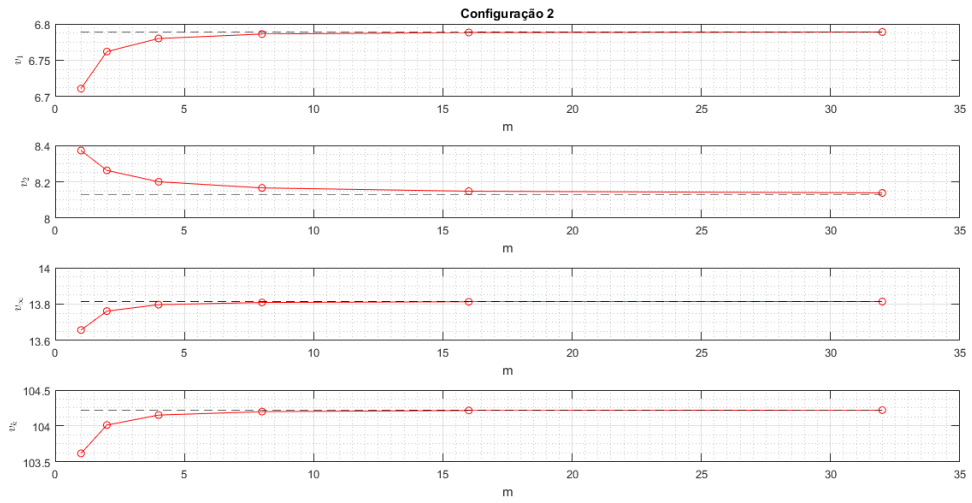
Configuração	$v_1 [^\circ C]$	$v_2 [^\circ C]$	$v_\infty [^\circ C]$	$v_k [W^{\frac{1}{2}} ^\circ C^{\frac{1}{2}}]$
1	6,7685	8,1023	13,5814	104,0653
2	6,7892	8,1315	13,8150	104,2245
3	6,9139	8,3007	14,1294	105,1783

**Tabela 1:** Valores de referência em todas as configurações para as medidas do vetor de temperaturas global.

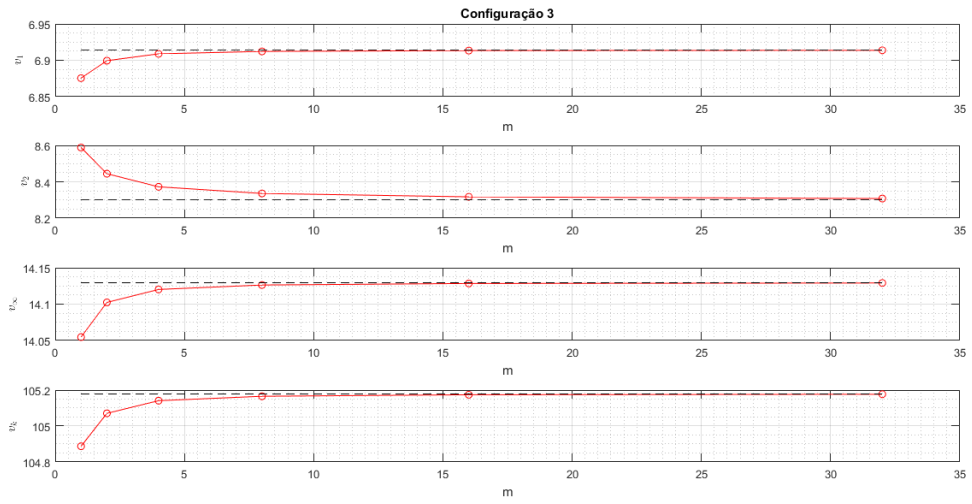
Portanto, com o auxílio do código "projeto4\_quest.3.m", para  $c \in \{1, 2, 3\}$ , indicando a configuração de materiais da chapa, foi possível encontrar os valores de  $v_1, v_2, v_\infty$  e  $v_k$  para  $m = 1, 2, 4, 8, 16, 32$ . obtendo os valores calculados em função de  $m$ , podemos observar graficamente os resultados, como exposto a seguir:



(a) Configuração 1.



(b) Configuração 2.



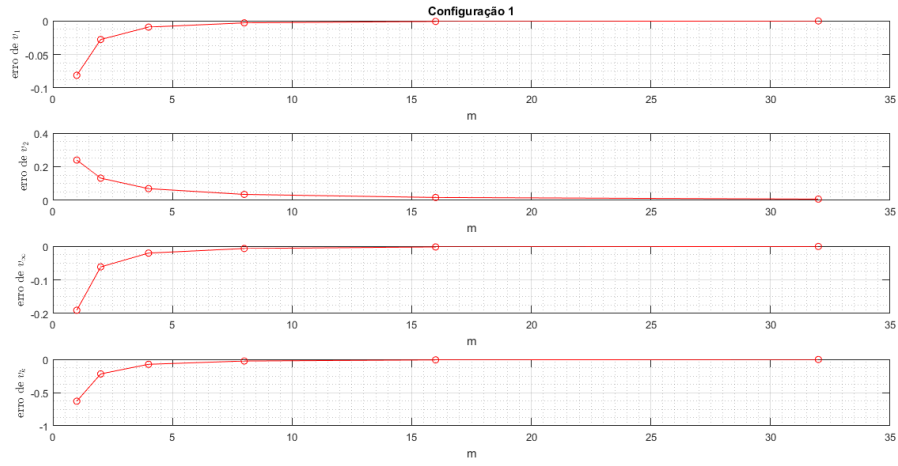
(c) Configuração 3.

**Figura 6:** Evolução de diferentes medidas do vetor de temperaturas global conforme a malha é refinada.

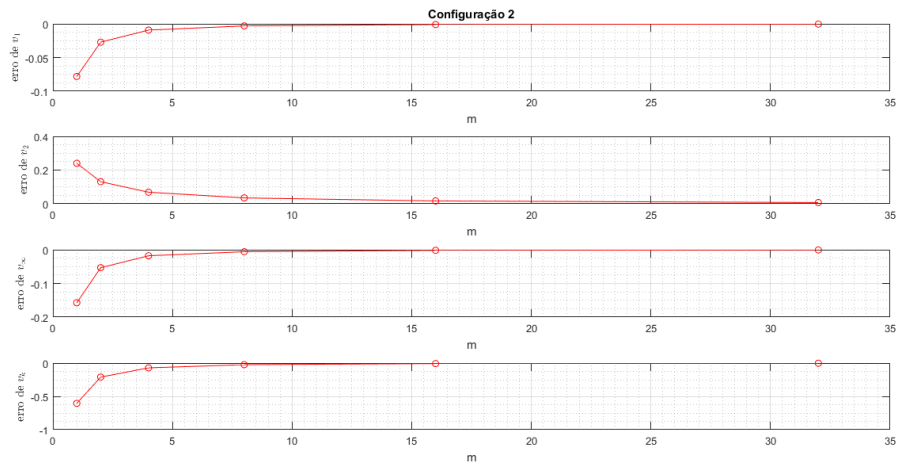
Para avaliar o erro de cada medida em função do  $m$ , será adotado

$$\text{erro} = \text{medida} - \text{referência}$$

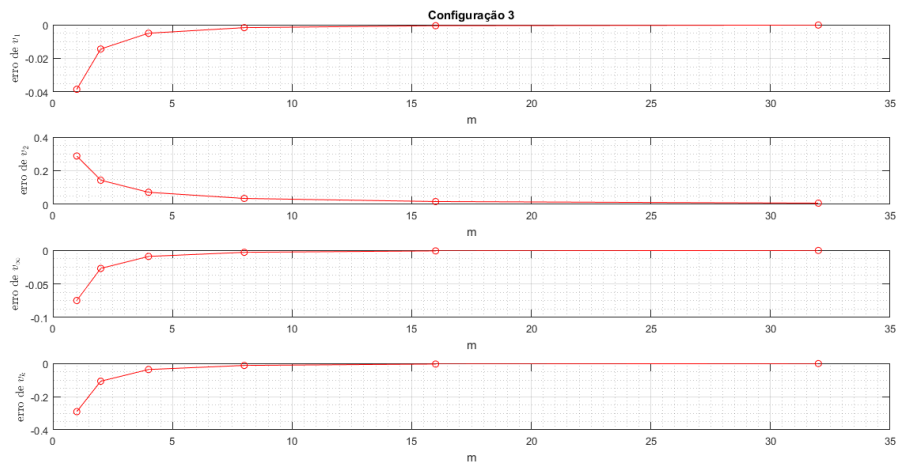
O que nos fornece os seguintes resultados:



(a) Configuração 1.



(b) Configuração 2.



(c) Configuração 3.

**Figura 7:** Evolução dos erros para as diferentes medidas do vetor de temperaturas global conforme a malha é refinada.

Nos gráficos obtidos, temos que a curva vermelha representa a evolução das medidas  $v_1, v_2, v_\infty$  e  $v_k$  para  $m = 1, 2, 4, 8, 16, 32$ , indicando a evolução conforme se refina a malha. Enquanto isso, o tracejado preto indica o valor de referência para uma malha com 409600 elementos. É possível observar que em todos os casos, e para todas as medidas do vetor de temperaturas global, há uma convergência sendo alcançada conforme se refina a malha, de modo que o método dos elementos finitos para a resolução do problema do projeto ganha confiabilidade.

Para definir um valor adequado de  $m$ , seria necessário ter em mente uma aplicação, para saber se é necessário haver mais ou menos rigor nos resultados numéricos. Por exemplo, problemas do setor aeroespacial são problemas com tolerâncias baixíssimas de erro, fazendo com que seja necessário o uso de uma malha com mais elementos, o que causa aumento no tempo de processamento para solução final no MATLAB. Portanto, ao analisarmos os gráficos das figuras 6 e 7, podemos ver que em  $m=32$  temos um resultado bem precisos para inúmeras aplicações da engenharia, tornando assim um valor aceitável para a discretização da malha..